Elettromagnetismo

Prof. Francesco Ragusa Università degli Studi di Milano

Lezione n. 36 - 16.05.2022

Quantità di moto del campo elettromagnetico Quantità di moto dell'onda e.m. Riflessione e trasmissione Incidenza normale e obliqua

Anno Accademico 2022/2023

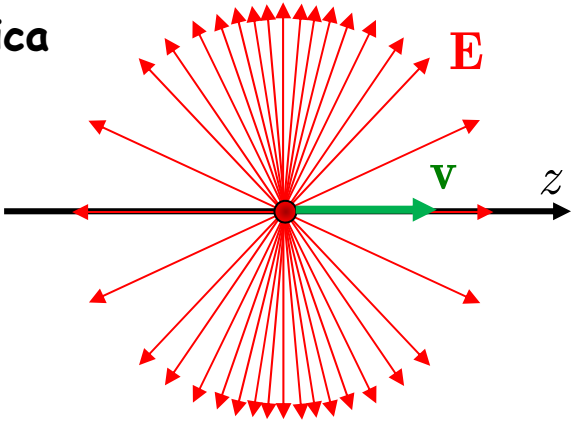
 Abbiamo visto il campo elettrico generato da una carica in moto rettilineo uniforme (vedi diapositiva 167)

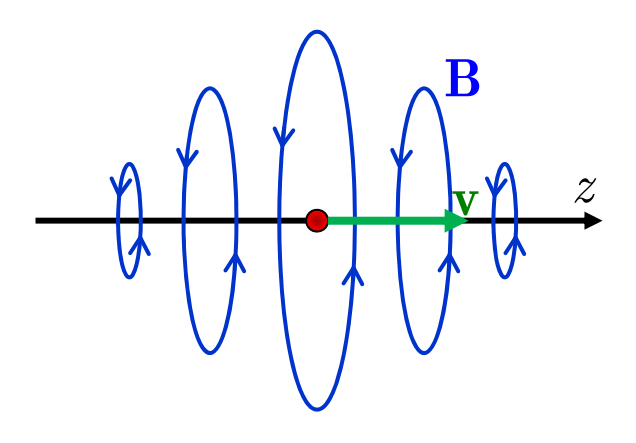
$$\mathbf{E} = \frac{1}{4\pi\varepsilon_0} \frac{Q}{r^2} \frac{1 - \beta^2}{\left(1 - \beta^2 \sin^2 \theta\right)^{3/2}} \hat{\mathbf{e}}_r \qquad \cos \theta = \hat{\mathbf{e}}_r \cdot \hat{\mathbf{e}}_z$$

- Una carica in movimento genera anche un campo magnetico
 - Abbiamo derivato l'espressione del campo magnetico B (vedi diapositiva 208)

$$\mathbf{B} = \frac{1}{c^2} \mathbf{v} \times \mathbf{E}$$

- Le linee di campo sono delle circonferenze centrate sulla trajettoria
 - L'intensità del campo magnetico dipende dall'angolo θ
- La forma dei campi appena introdotta permette di convincersi che in elettrodinamica è necessario introdurre anche il concetto di quantità di moto del campo elettromagnetico
 - A tal fine consideriamo un esempio





- ullet Come esempio consideriamo due cariche q_1 e q_2 in movimento $(v_1=v_2)$
 - ullet Le due cariche generano un campo elettrico ${f E}$ secondo la formula della diapositiva precedente
 - ullet Le forze elettriche sono (le distanze da O sono uguali)

$$\mathbf{F_{12}} = q_2 \mathbf{E_1} \qquad \mathbf{F_{21}} = q_1 \mathbf{E_2} \qquad \mathbf{F_{12}} = -\mathbf{F_{21}}$$

- Le forze elettriche rispettano la terza legge di Newton
- Le due cariche generano anche un campo magnetico
 - ullet I campi magnetici B_1 e B_2 (perpendicolari allo schermo)
 - Le forze sulle due cariche sono date dalla legge di Lorentz

$$\mathbf{F_{m12}} = q_2 \mathbf{v_2} \times \mathbf{B_1} \qquad \mathbf{F_{m21}} = q_2 \mathbf{v_2} \times \mathbf{B_1}$$

- Si verifica facilmente che le due forze magnetiche hanno lo stesso modulo
 - Tuttavia le due forze magnetiche non agiscono lungo la congiungente
 - Non obbediscono alla terza legge di newton
- La violazione della terza legge di Newton sarebbe molto grave
 - La conservazione della quantità di moto dipende dalla terza legge
 - Il problema viene risolto dall'introduzione della quantità di moto del campo elettromagnetico
- Vedi: Keller J.M. Newton's Third Law and Electrodynamics American Journal of Physics 10, p. 302 (1948)

 $\mathbf{F_{m21}}$

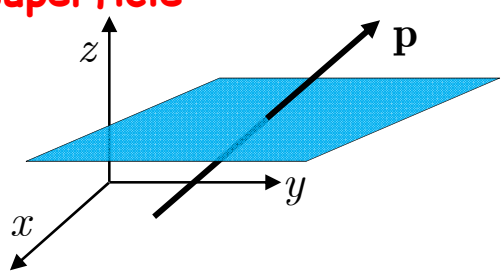
 q_2

**

- Troviamo adesso un'espressione per la quantità di moto del campo elettromagnetico simile a quella dell'energia $\left(\mathbf{p}_{ ext{mech}}
 ight)_i = \left(egin{array}{c} q.moto \\ materia \end{array}
 ight)$
 - Per l'energia avevamo trovato

$$\begin{array}{c} \frac{dW}{dt} = - \oint_{\mathcal{S}} \mathbf{S} \cdot d\mathbf{a} - \frac{\partial U_{EM}}{\partial t} & \left(\mathbf{p}_{EM}\right)_i = \begin{pmatrix} q.moto \\ campo \end{pmatrix}_i \\ \frac{\partial}{\partial t} \left(\mathbf{p}_{\mathrm{mech}}\right)_i = - \begin{pmatrix} flusso \\ q.moto \end{pmatrix}_i - \begin{pmatrix} \frac{\partial \mathbf{p}_{EM}}{\partial t} \\ \frac{\partial}{\partial t} \end{pmatrix}_i & \mathbf{p}_{EM} = \int_{V} \mathbf{g} dV \\ \mathbf{p}_{EM} = \mathbf{p}_{EM} & \mathbf{p}_{EM} = \mathbf{p}_{EM} \\ \mathbf{p}_{EM} = \mathbf{p}_{EM} & \mathbf{p}_{EM} \\ \mathbf{p}_{EM} & \mathbf$$

- La quantità di moto è un vettore
- Il flusso attraverso una superficie deve essere un vettore
- La grandezza corrispondente a S non può essere un vettore
 - È un tensore: il tensore degli stress di Maxwell
- Pensiamo al flusso di quantità di moto attraverso una superficie
 - Ad esempio una superficie attraversata da particelle
 - ullet Il flusso attraverso la superficie (x-y) produce quantità di moto nelle tre direzioni
 - ullet Lo stesso attraverso superfici x-z e y-z



$$\frac{dW}{dt} = -\oint_{\partial V} \mathbf{S} \cdot d\mathbf{a} - \frac{\partial U_{EM}}{\partial t} \longrightarrow \left(\frac{\partial \mathbf{p}_{mech}}{\partial t}\right)_{i} = -\left(\frac{flusso}{q.moto}\right)_{i} - \left(\frac{\partial \mathbf{p}_{EM}}{\partial t}\right)_{i}$$

- Il termine a primo membro rappresenta la variazione di quantità di moto all'interno di un volume V nell'unita di tempo
 - La variazione di guantità di moto è la forza che agisce sulla materia

$$\frac{\partial \mathbf{p}_{\text{mech}}}{\partial t} = \mathbf{F}$$

 $rac{\partial \mathbf{p}_{\mathrm{mech}}}{\partial t} = \mathbf{F}$ Ricordiamo l'espressione della forza di Lorentz

$$\mathbf{F} = q(\mathbf{E} + \mathbf{v} \times \mathbf{B})$$

• Introduciamo la forza per unità di volume

$$\mathbf{f} = \rho (\mathbf{E} + \mathbf{v} \times \mathbf{B}) = \rho \mathbf{E} + \mathbf{J} \times \mathbf{B}$$

• Si potrebbe procedere in modo analogo a quanto fatto per il teorema di **Poynting**

$$\frac{\partial \mathbf{p}_{\text{mech}}}{\partial t} = \mathbf{F} = \int_{V} \mathbf{f} dV = \int_{V} (\rho \mathbf{E} + \mathbf{J} \times \mathbf{B}) dV$$

- ullet Si introducono ho e J nell'espressione utilizzando le equazioni Maxwell
- Si elabora l'espressione utilizzando le altre equazioni e opportune identità vettoriali
 - Il calcolo è lungo e non particolarmente illuminante
 - Si può consultare Griffiths § 8.2.2



• Si giunge al risultato

$$\left(rac{\partial \mathbf{p}_{ ext{mech}}}{\partial t}
ight)_{i} = \oint_{\partial V} \sum_{j} T_{ij} n_{j} da - rac{\partial}{\partial t} \left(rac{1}{c^{2}} \int_{V} \mathbf{S} dV
ight)_{i}$$

- ullet Il primo membro è la componente i di un vettore
- La quantità fra parentesi del secondo termine del secondo membro è la componente i di un vettore che rappresenta la quantità di moto del campo
 - Introduciamo la densità di quantità di moto

$$\mathbf{g} = rac{1}{c^2}\mathbf{S}$$
 Notiamo che g è proporzionale al vettore di Poynting $\mathbf{p}_{EM} = \int_V \mathbf{g} dV$

• Il primo termine nel secondo membro rappresenta il flusso di quantità di moto al secondo attraverso la superficie che delimita il volume

$$\oint_{\partial V} \sum_{j} T_{ij} n_{j} da \qquad T_{ij} = arepsilon_{0} igg(E_{i} E_{j} - rac{E^{2}}{2} \delta_{ij} igg) + rac{1}{\mu_{0}} igg(B_{i} B_{j} - rac{B^{2}}{2} \delta_{ij} igg)$$

- ullet La grandezza T_{ij} è il Tensore degli Stress di Maxwell
- L'integrale di superficie (un flusso) deve produrre un vettore
- D'altro canto il flusso è il prodotto di un vettore e la normale alla superficie
 - Per questo motivo nell'integrando compare un tensore

 $d\mathbf{a} = \hat{\mathbf{n}} da$

• Esaminiamo ancora l'integrale

$$\oint_{\partial V} \sum_j T_{ij} n_j da$$

- Deve produrre tre componenti
 - ullet Consideriamo la componente i
- ullet Consideriamo inoltre l'elemento di superficie $d{
 m a}$
 - Attraverso questa superficie il campo contribuisce quantità di moto lungo la direzione i tramite le tre proiezioni di da nelle direzioni x, y, z
 - ullet Proiettiamo la superficie $d{
 m a}$ nelle tre direzioni degli assi

$$d\mathbf{a} = da(\hat{n}_x \hat{\mathbf{e}}_x + \hat{n}_y \hat{\mathbf{e}}_y + \hat{n}_z \hat{\mathbf{e}}_z) = da(\hat{n}_1 \hat{\mathbf{e}}_1 + \hat{n}_2 \hat{\mathbf{e}}_2 + \hat{n}_3 \hat{\mathbf{e}}_3)$$

• L'integrando della componente i è pertanto

$$T_{i1}\hat{n}_1da + T_{i2}\hat{n}_2da + T_{i3}\hat{n}_3da$$

Infine scriviamo la legge di conservazione in forma differenziale

$$\left(
ho\mathbf{E} +
ho\mathbf{v} imes \mathbf{B}
ight)_{i} = \left(\mathbf{f}
ight)_{i} = \partial_{j}T_{ij} - rac{\partial}{\partial t} \left(rac{\mathbf{S}}{c^{2}}
ight)_{i}$$
 $\partial_{j}T_{ij} \equiv \sum_{j} \partial_{j}T_{ij}$

$${\partial}_{j}T_{ij} \equiv \sum_{j} {\partial}_{j}T_{ij}$$

z

È la "divergenza" del tensore



- Per meglio comprendere il significato e l'uso del tensore degli Stress di Maxwell risolviamo il seguente problema
 - Consideriamo una sfera di raggio R e carica Q $\rho=\frac{3Q}{4\pi R^3}$ Immaginiamo che la sfera sia divisa in due emisferi
 - Calcolare la forza su ciascun emisfero
- Il problema si può risolvere con metodi standard
 - Sappiamo che all'interno della sfera il campo è $\sin\theta\cos\phi$

$$\mathbf{E} = \frac{Q}{4\pi\varepsilon_0} \frac{\mathbf{r}}{R^3} \qquad \mathbf{r} = r \begin{vmatrix} \sin\theta\sin\phi\phi \\ \cos\theta \end{vmatrix}$$

• L'elemento di volume interno alla sfera è

$$dv = r^2 \sin \theta d\phi d\theta dr$$

ullet La forza esercita sull'elemento di volume dv \dot{ullet}

$$d\mathbf{F} = dq\mathbf{E} = \rho dv\mathbf{E}$$

• La forza totale è

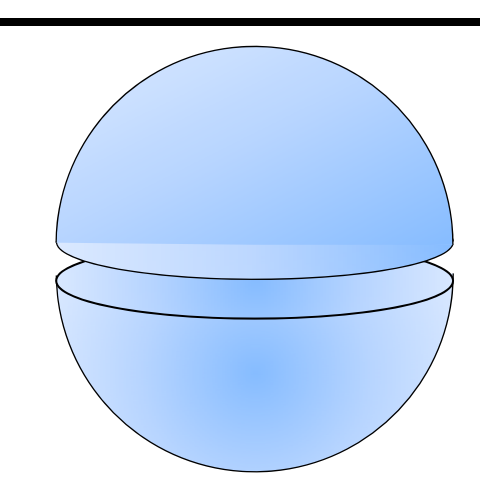
$$\mathbf{F} = \frac{\rho Q}{4\pi\varepsilon_0} \frac{1}{R^3} \int_0^R dr \int_0^{2\pi} d\phi \int_0^{\frac{\pi}{2}} \mathbf{r} r^2 \sin\theta d\theta$$

ullet Si verifica facilmente che l'unico contributo diverso da zero è F_z

**

• La forza è pertanto

$$F_{z} = \frac{\rho Q}{4\pi\varepsilon_{0}} \frac{1}{R^{3}} \int_{0}^{R} dr \int_{0}^{2\pi} d\phi \int_{0}^{\frac{\pi}{2}} r \cos\theta r^{2} \sin\theta d\theta$$
$$= \frac{\rho Q}{4\pi\varepsilon_{0}} \frac{1}{R^{3}} \frac{1}{4} R^{4} 2\pi \int_{0}^{1} \cos\theta d \cos\theta = \frac{\rho Q}{16\varepsilon_{0}} R$$



• In definitiva, la forza sull'emisfero superiore è

$$\mathbf{F} = \frac{3Q^2}{64\pi\varepsilon_0 R^2} \,\hat{\mathbf{e}}_z \qquad \qquad \rho = \frac{3Q}{4\pi R^3}$$



ullet Bisogna calcolare il flusso di T_{ij} attraverso la superficie dell'emisfero



• Attraverso la base della calotta -



- Sappiamo già che le altre componenti sono nulle
- Si potrebbe trarre la stessa conclusione con argomenti di simmetria

**

Le componenti cartesiane del campo sono

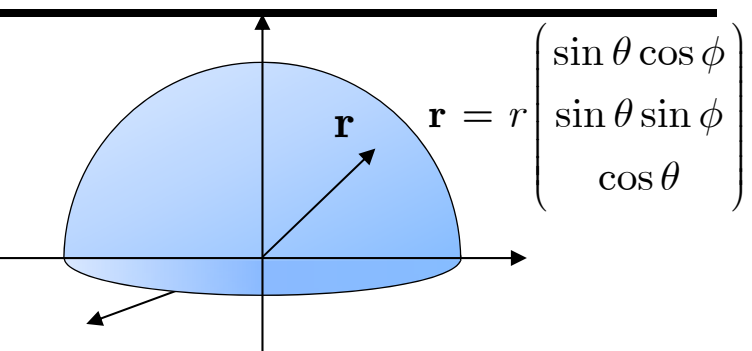
$$\mathbf{E} = k\mathbf{r}$$

$$E_{r} = kr\sin\theta\cos\phi$$

$$k = \frac{Q}{4\pi\varepsilon_0} \frac{1}{R^3} \qquad E_y = kr\sin\theta\sin\phi$$
$$E = kr\cos\theta$$

$$E_{y} = kr \sin \theta \sin \phi$$

$$E_z = kr\cos\theta$$



Scriviamo le componenti necessarie del tensore

$$T_{zx} \ / \ \varepsilon_0 \ = E_z E_x \ = k^2 r^2 \sin\theta \cos\theta \cos\phi \quad T_{zy} \ / \ \varepsilon_0 \ = E_z E_y = k^2 r^2 \sin\theta \cos\theta \sin\phi$$

$$T_{zz} / \varepsilon_0 = E_z E_z - \frac{1}{2} E^2 = k^2 r^2 \cos^2 \theta - \frac{1}{2} k^2 r^2 = \frac{1}{2} k^2 r^2 (\cos^2 \theta - \sin^2 \theta)$$

- ullet L'elemento di superficie sulla calotta sferica è $d{f a}=R^2\sin heta d\phi d heta \hat{f r}$
 - Le componenti sono

$$da_x = R^2 \sin \theta d\phi d\theta \hat{r}_x = R^2 \sin^2 \theta \cos \phi d\phi d\theta$$

$$da_{y} = R^{2} \sin \theta d\phi d\theta \hat{r}_{y} = R^{2} \sin^{2} \theta \sin \phi d\phi d\theta$$

$$da_z = R^2 \sin \theta d\phi d\theta \hat{r}_z = R^2 \sin \theta \cos \theta d\phi d\theta$$

ullet Il contributo alla forza della calotta F_c è pertanto

$$F_{cz}=\int T_{zx}da_x+T_{zy}da_y+T_{zz}da_z=\int_0^{2\pi}d\phi\int_0^{rac{\pi}{2}}d hetaarepsilon_0 k^2R^4I(heta,\phi)$$

 $I(\theta,\phi) = \sin^3\theta\cos\theta\cos^2\phi + \sin^3\theta\cos\theta\sin^2\phi + \frac{1}{2}\sin\theta\cos\theta\cos^2\theta - \frac{1}{2}\sin\theta\cos\theta\sin^2\theta$

**

$$I(\theta, \phi) = \sin^3 \theta \cos \theta \cos^2 \phi + \sin^3 \theta \cos \theta \sin^2 \phi + \frac{1}{2} \sin \theta \cos \theta \cos^2 \theta - \frac{1}{2} \sin \theta \cos \theta \sin^2 \theta$$
$$= \sin^3 \theta \cos \theta + \frac{1}{2} \sin \theta \cos \theta \cos^2 \theta - \frac{1}{2} \sin \theta \cos \theta \sin^2 \theta$$
$$= \frac{1}{2} \sin \theta \cos \theta (2 \sin^2 \theta + \cos^2 \theta - \sin^2 \theta) = \frac{1}{2} \sin \theta \cos \theta$$

Pertanto

$$F_{cz} = \frac{\varepsilon_0}{2} k^2 R^4 \int_0^{2\pi} d\phi \int_0^{\frac{\pi}{2}} \sin\theta \cos\theta d\theta = \frac{\varepsilon_0}{2} k^2 R^4 \pi = \frac{Q^2}{32\pi\varepsilon_0 R^2}$$

ullet Rimane da calcolare il contributo della superficie inferiore $F_{bz}=\int T_{zz}da_z$

$$d\mathbf{a} = -rdrd\phi\,\hat{\mathbf{e}}$$

ullet L'elemento di superficie sulla base equatoriale è $d{f a}=-rdr {ar d} \phi\, {\hat {f e}}$.

$$da_z = -rdrd\phi$$

• Sulla superficie inferiore $(heta=\pi/2)$

$$T_{zz} = \frac{\varepsilon_0}{2} k^2 r^2 (\cos^2 \theta - \sin^2 \theta) \rightarrow T_{zz} = -\frac{\varepsilon_0}{2} k^2 r^2$$

$$F_{bz} = rac{arepsilon_0}{2} k^2 \int_0^{2\pi} d\phi \int_0^R r^3 dr = arepsilon_0 \pi k^2 rac{R^4}{4} = rac{Q^2}{64\pi arepsilon_0 R^2}$$

• La forza totale è

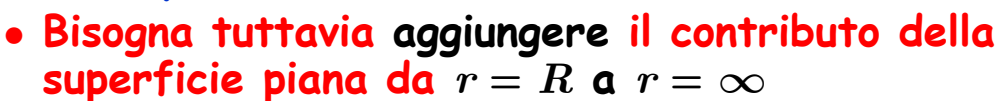
$$F_z=F_{cz}+F_{bz}=rac{3Q^2}{64\piarepsilon_0R^2}$$
 In accordo con il risultato della diapositiva 413

- Non è obbligatorio utilizzare la superficie dell'emisfero
 - E sufficiente utilizzare una superficie che contiene la carica sulla quale vogliamo effettuare il calcolo
 - Eventualmente anche nel caso magnetico
 - Una superficie chiusa che contiene tutte le cariche e le correnti di interesse











$$F_{cz} \sim rac{Q^2}{R^2}
ightarrow 0$$

• Per r>R il campo elettrico E giace sulla superficie e ha modulo $E=\frac{Q}{4\pi\varepsilon_0}\frac{1}{r^2}$ ullet La componente di T_{ij} di interesse è T_{zz}

$$T_{zz} = \varepsilon_0 E_z E_z - \frac{\varepsilon_0}{2} E^2 = -\frac{Q^2}{32\pi^2\varepsilon_0} \frac{1}{r^4} \ \ \, {\rm L'elemento\ di\ superficie} \ \ \, da_z = -rdrd\phi$$

$$da_{z}\,=\,-rdrd\phi$$

$$F_{ez} = \int T_{zz} da_z = \frac{Q^2}{32\pi^2 \varepsilon_0} \int_0^{2\pi} d\phi \int_R^{\infty} r dr \frac{1}{r^4} = \frac{Q^2}{32\pi \varepsilon_0} \frac{2\pi}{2R^2} \quad F_{ez} = \frac{Q^2}{32\pi \varepsilon_0 R^2}$$

- Riassumendo
 - ullet Il contributo del piano per r < R è

$$F_{bz} = \frac{Q^2}{64\pi\varepsilon_0 R^2}$$

- Il contributo restante del piano $(R-\infty)$ $F_{ez}=rac{Q^2}{32\pi arepsilon_0 R^2}$
- Complessivamente la forza è

$$F_{z} = F_{bz} + F_{ez} = rac{Q^{2}}{64\piarepsilon_{0}R^{2}} + rac{Q^{2}}{32\piarepsilon_{0}R^{2}} = rac{3Q^{2}}{64\piarepsilon_{0}R^{2}}$$

- In accordo con il risultato precedente
- Il risultato trovato è molto importante e utile
 - Si può' calcolare la forza su un sistema complicato di cariche (e correnti) ignorandone i dettagli calcolando il flusso del tensore degli stress su una superficie chiusa arbitraria (conveniente) che racchiude tutto il sistema di interesse
- Esercizio
 - Riprodurre la forza di Coulomb fra due cariche utilizzando il tensore degli stress di Maxwell

- Le leggi che abbiamo visto generalizzano la conservazione dell'energia e della quantità di moto tenendo conto anche
 - Dell'energia del campo elettromagnetico
 - Della quantità di moto del campo elettromagnetico
- Un'onda elettromagnetica è un campo elettromagnetico
 - ullet Consideriamo un'onda piana monocromatica con polarizzazione lineare $\hat{\mathbf{n}}$ (392)

$$\mathbf{E} = E_0 \cos(\mathbf{k} \cdot \mathbf{r} - \omega t) \hat{\mathbf{n}} \quad \mathbf{B} = \frac{1}{c} E_0 \cos(\mathbf{k} \cdot \mathbf{r} - \omega t) \hat{\mathbf{k}} \times \hat{\mathbf{n}}$$

- Trasporta energia e quantità di moto
- Calcoliamo la densità di energia

• Calcoliamo la densità di energia
$$u_{EM} = \frac{1}{2} \varepsilon_0 E^2 + \frac{1}{2\mu_0} B^2 = \frac{1}{2} \varepsilon_0 E_0^2 \cos^2\left(\mathbf{k} \cdot \mathbf{r} - \omega t\right) + \frac{1}{2\mu_0 c^2} E_0^2 \cos^2\left(\mathbf{k} \cdot \mathbf{r} - \omega t\right) \\ \frac{1}{\mu_0 c^2} = \varepsilon_0 \qquad \longrightarrow \qquad u_{EM} = \varepsilon_0 E_0^2 \cos^2\left(\mathbf{k} \cdot \mathbf{r} - \omega t\right)$$

- Osserviamo che in un'onda polarizzata linearmente i contributi del campo elettrico e del campo magnetico sono uguali Per onda con polarizzazione circolare sono diversi
- L'energia dell'onda varia nello spazio e nel tempo ed è trasportata nello spazio-tempo
- Il vettore di Poynting descrive il flusso di energia

- Calcoliamo il vettore di Poynting dell'onda piana con polarizzazione lineare
 - Ricordiamo che le sue dimensioni sono energia per secondo per metro quadrato

$$\mathbf{E} = E_0 \cos(\mathbf{k} \cdot \mathbf{r} - \omega t) \hat{\mathbf{n}} \qquad \mathbf{B} = \frac{1}{c} E_0 \cos(\mathbf{k} \cdot \mathbf{r} - \omega t) \hat{\mathbf{k}} \times \hat{\mathbf{n}}$$

$$\mathbf{S} = \frac{1}{\mu_0} \mathbf{E} \times \mathbf{B} = \frac{1}{\mu_0 c^2} c E_0^2 \cos^2(\mathbf{k} \cdot \mathbf{r} - \omega t) \hat{\mathbf{n}} \times \hat{\mathbf{k}} \times \hat{\mathbf{n}}$$

$$\hat{\mathbf{n}} imes \hat{\mathbf{k}} imes \hat{\mathbf{n}} = \hat{\mathbf{k}} (\hat{\mathbf{n}} \cdot \hat{\mathbf{n}}) - \hat{\mathbf{n}} (\hat{\mathbf{k}} \cdot \hat{\mathbf{n}}) = \hat{\mathbf{k}}$$
 $\mathbf{S} = \varepsilon_0 E_0^2 \cos^2(\mathbf{k} \cdot \mathbf{r} - \omega t) c \hat{\mathbf{k}}$

$$\mathbf{S} = \varepsilon_0 E_0^2 \cos^2\left(\mathbf{k} \cdot \mathbf{r} - \omega t\right) c\hat{\mathbf{k}}$$

In definitiva

$$\mathbf{S} = u_{EM} c \hat{\mathbf{k}}$$

La densità di quantità di moto associata con l'onda è data da

$$\mathbf{g} = \frac{1}{c^2} \mathbf{S} = \frac{u_{EM}}{c} \hat{\mathbf{k}}$$

- Nel caso di un'onda di luce abbiamo visto che le frequenze sono molto elevate
 - ullet Frequenze dell'ordine di $u \sim 10^{16}~{
 m Hz}$, lunghezze d'onda $\lambda \sim 10^{-7}~{
 m m}$
 - Tipiche misure macroscopiche sono medie nel tempo su molti cicli dell'onda
 - Ad esempio, l'occhio umano fa medie in tempi dell'ordine di $\max_{\alpha} \frac{1}{T} \int_{0}^{T} u(t)dt$

 - Ricordiamo che

• Infatti

$$\frac{1}{T} \int_0^T \sin^2 \frac{2\pi t}{T} dt = \frac{1}{T} \int_0^T \cos^2 \frac{2\pi t}{T} dt = \frac{1}{2}$$
$$\frac{1}{2\pi} \int_0^{2\pi} \sin^2 t dt = \frac{1}{2\pi} \int_0^{2\pi} \cos^2 t dt = a$$

$$2a = \frac{1}{2\pi} \int_0^{2\pi} \left[\sin^2 t + \cos^2 t \right] dt = \frac{1}{2\pi} \int_0^{2\pi} 1 dt = \frac{1}{2\pi} 2\pi = 1 \qquad a = \frac{1}{2}$$

• Otteniamo pertanto

$$\left\langle u_{\scriptscriptstyle EM} \right\rangle = rac{1}{2} \varepsilon_{\scriptscriptstyle 0} E_{\scriptscriptstyle 0}^2 \qquad \left\langle \mathbf{S} \right\rangle = rac{1}{2} \varepsilon_{\scriptscriptstyle 0} E_{\scriptscriptstyle 0}^2 c \hat{\mathbf{k}} \qquad \left\langle \mathbf{g} \right\rangle = rac{1}{2c} \varepsilon_{\scriptscriptstyle 0} E_{\scriptscriptstyle 0}^2 \hat{\mathbf{k}}$$

• Si definisce intensità dell'onda (energia per unità di superficie per secondo)

NB: Polarizzazione lineare

$$I = \langle S \rangle = \frac{1}{2} \varepsilon_0 E_0^2 c$$
 $[I] = \mathrm{Jm}^{-2} \mathrm{s}^{-1}$

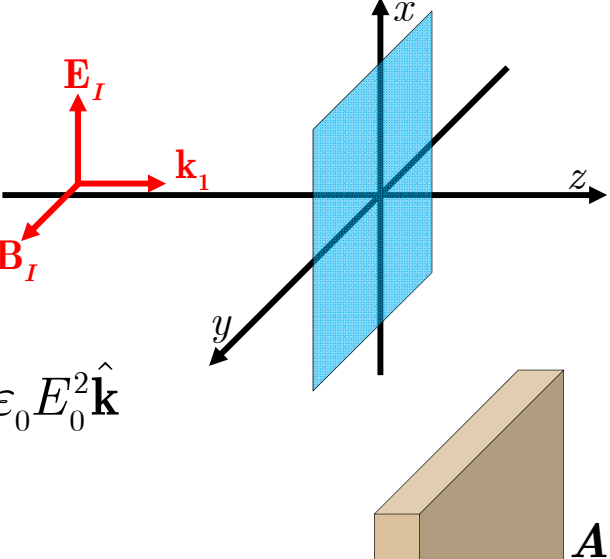
- Supponiamo che un'onda elettromagnetica incida su una superficie perfettamente assorbente
 - La radiazione elettromagnetica assorbita trasferisce quantità di moto alla superficie
 - ullet Calcoliamo la quantità di moto contenuta in un parallelepipedo di area A e spessore cdt

$$\begin{split} d\mathbf{p} &= \left\langle \mathbf{g} \right\rangle A \, c \, dt & \left\langle \mathbf{g} \right\rangle = \frac{1}{2c} \, \varepsilon_0 E_0^2 \hat{\mathbf{k}} \\ d\mathbf{p} &= \frac{1}{2c} \, \varepsilon_0 E_0^2 \hat{\mathbf{k}} A \, c \, dt &= \frac{1}{2} \, \varepsilon_0 E_0^2 \hat{\mathbf{k}} A \, dt \end{split}$$

- ullet La forza sulla superficie A è $\mathbf{F}=rac{d\mathbf{p}}{dt}=rac{1}{2}arepsilon_0 E_0^2\hat{\mathbf{k}}A$
- La pressione è la forza per unità di superficie

$$rac{F}{A} = rac{1}{2} arepsilon_0 E_0^2$$
 Pressione di radiazione

• Se la superficie è perfettamente riflettente la pressione raddoppia



cdt

- Calcoliamo la pressione di radiazione della luce solare su una superficie perfettamente assorbente
 - La potenza della luce solare incidente sulla superficie della terra è circa $1300~{
 m W/m^2}$
 - ullet Questa è l'intensità dell'onda $I=1300~
 m J~m^{-2}\,s^{-1}$
 - Supponiamo che sia un'onda piana con polarizzazione lineare

$$I = \left\langle S \right\rangle = \frac{1}{2} \varepsilon_0 E_0^2 c$$
 $\qquad \qquad \frac{F}{A} = \frac{1}{2} \varepsilon_0 E_0^2 = \frac{I}{c}$

• La pressione di radiazione è

$$\frac{F}{A} = \frac{1.3 \cdot 10^3}{3 \cdot 10^8} = 4.3 \times 10^{-6} \,\mathrm{N/m^2}$$

- ullet Confrontiamo con la pressione atmosferica $\dfrac{F}{A}=1.05 imes10^5~\mathrm{N/m^2}$
- ullet La pressione di radiazione è pertanto $4.3 imes 10^{-11} \mathrm{\ atm}$ (molto piccola)

Propagazione nella materia

• In assenza di cariche e correnti libere, le equazioni di Maxwell nella materia assumono la forma (vedi diapositiva 370)

$$\mathbf{D} = \varepsilon \mathbf{E} = \varepsilon_r \varepsilon_0 \mathbf{E} \qquad \mathbf{H} = \frac{1}{\mu} \mathbf{B} = \frac{1}{\mu_r \mu_0} \mathbf{B}$$

• All'interno di ciascun mezzo avremo

$$\mathbf{\nabla} \cdot \mathbf{E} = 0$$
 $\mathbf{\nabla} \times \mathbf{B} = \mu \varepsilon \frac{\partial \mathbf{E}}{\partial t}$

- Naturalmente nel passaggio da un mezzo all'altro bisogna tenere conto delle discontinuità dei campi
- Da un punto di vista matematico l'unica differenza con le equazioni nel vuoto (senza materia) è avere sostituito le costanti μ_0 e $arepsilon_0$ con μ e arepsilon
 - ullet Le soluzioni saranno onde che viaggiano con velocità v diversa da c

$$v = \frac{1}{\sqrt{\varepsilon \mu}} = \frac{1}{\sqrt{\varepsilon_r \varepsilon_0 \mu_r \mu_0}} = \frac{c}{\sqrt{\varepsilon_r \mu_r}} = \frac{c}{n} \qquad \qquad n = \sqrt{\varepsilon_r \mu_r}$$

- ullet La costante n è l'indice di rifrazione della sostanza
 - ullet Per molte sostanze $\mu_rpprox 1$ e l'indice di rifrazione è determinato solo da $arepsilon_r$
 - ullet La "costante" $arepsilon_r$ dipende molto dalla frequenza

Propagazione nella materia

• Il vettore di Poynting diventa

$$\mathbf{S} = \mathbf{E} \times \mathbf{H} = \frac{1}{\mu} \mathbf{E} \times \mathbf{B}$$

- Nelle onde piane monocromatiche la frequenza ω e il vettore d'onda k sono legate tramite la velocità dell'onda nel mezzo: $\omega=kv$
- ullet I campi old E e old B sono legati anch'essi tramite v

$$E = \frac{1}{v}B$$

• Per finire l'intensità dell'onda è data da (polarizzazione lineare)

$$I = \frac{1}{2} \varepsilon v E_0^2$$

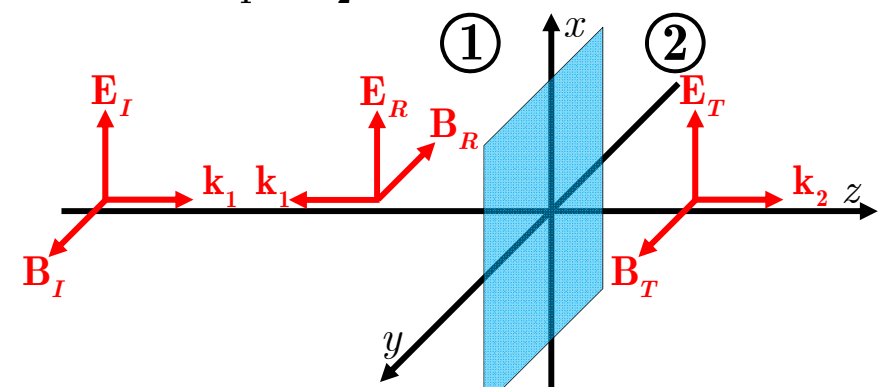
- Studiamo adesso la propagazione di un'onda piana che attraversa il confine fra due mezzi lineari caratterizzati da costanti $\varepsilon_1,\,\mu_1$ e $\varepsilon_2,\,\mu_2$
 - Si formano un'onda trasmessa e un'onda riflessa
 - Studieremo il fenomeno per incidenza normale e incidenza obliqua
 - Saranno necessarie le condizioni all'interfaccia (vedi diapositiva 370)

$$arepsilon_1 E_{1\perp} = arepsilon_2 E_{2\perp} \qquad \mathbf{E}_{1\parallel} = \mathbf{E}_{2\parallel} \qquad B_{1\perp} = B_{2\perp} \qquad rac{1}{\mu_1} \mathbf{B}_{1\parallel} = rac{1}{\mu_2} \mathbf{B}_{2\parallel}$$

- ullet Supponiamo che l'interfaccia fra il mezzo 1 e il mezzo 2 sia il piano z=0
 - ullet Le velocità di propagazione nei due mezzi sono v_1 e v_2

$$ilde{\mathbf{E}}_{I}\left(z,t
ight)=\hat{\mathbf{e}}_{x} ilde{E}_{0I}e^{i\left(\omega t-k_{1}z
ight)}$$

$$ilde{\mathbf{B}}_{I}\left(z,t
ight)=\hat{\mathbf{e}}_{y}rac{1}{v_{\scriptscriptstyle 1}} ilde{E}_{\scriptscriptstyle 0I}e^{i\left(\omega t-k_{\scriptscriptstyle 1}z
ight)}\qquad \mathbf{B}_{I}$$



- ullet Un'onda piana I viaggia nel senso positivo dell'asse z incide sul piano z=0
 - ullet Sono generate un'onda riflessa R e un'onda trasmessa T

• Sono generate un'onda riflessa
$$R$$
 e un'onda trasmessa T
$$\tilde{\mathbf{E}}_{R}\left(z,t\right) = \hat{\mathbf{e}}_{x}\tilde{E}_{0R}e^{i\left(\omega t+k_{1}z\right)} \qquad \tilde{\mathbf{B}}_{R}\left(z,t\right) = -\hat{\hat{\mathbf{e}}}_{y}\frac{1}{v_{1}}\tilde{E}_{0R}e^{i\left(\omega t+k_{1}z\right)} \qquad \text{vedi } \underline{\mathbf{392}}$$

$$\tilde{\mathbf{E}}_{T}\left(z,t\right) = \hat{\mathbf{e}}_{x}\tilde{E}_{0T}e^{i\left(\omega t - k_{2}z\right)} \qquad \tilde{\mathbf{B}}_{T}\left(z,t\right) = \hat{\mathbf{e}}_{y}\frac{1}{v_{2}}\tilde{E}_{0T}e^{i\left(\omega t - k_{2}z\right)}$$

- Abbiamo utilizzato la stessa frequenza per le tre onde
 - Vedremo che l'uguaglianza è conseguenza delle condizioni all'interfaccia
- ullet Abbiamo visto che i moduli dei vettori ${f k}$ sono legati alle frequenze: $\omega=kv$

 Nella regione 1 il campo elettromagnetico totale è dato da

rotale è dato da
$$ilde{\mathbf{E}}_1 = ilde{\mathbf{E}}_I + ilde{\mathbf{E}}_R \qquad ilde{\mathbf{B}}_1 = ilde{\mathbf{B}}_I + ilde{\mathbf{B}}_R \qquad frac{\mathbf{k}_1 \ \mathbf{k}_2}{\mathbf{k}_1 \ \mathbf{k}_2}$$

- Nella regione 2 il campo elettromagnetico è dato da $E_2=E_T$ e $B_2=B_T$ Imponiamo le condizioni all'interfaccia per z=0
 - Le condizioni sulle componenti normali sono banali dato che queste sono nulle
 - ullet Esaminiamo la condizione su ${f E}_{||}$ e consideriamo le frequenze diverse

$$\begin{split} \mathbf{E}_{1\parallel} \left(0,t \right) &= \mathbf{E}_{2\parallel} \left(0,t \right) \longrightarrow \hat{\mathbf{e}}_{x} \tilde{E}_{0I} e^{i(\omega t - k_{1}z)} + \hat{\mathbf{e}}_{x} \tilde{E}_{0R} e^{i(\omega' t + k_{1}z)} = \hat{\mathbf{e}}_{x} \tilde{E}_{0T} e^{i(\omega'' t - k_{2}z)} \\ z &= 0 \longrightarrow \tilde{E}_{0I} e^{i\omega t} + \tilde{E}_{0R} e^{i\omega' t} = \tilde{E}_{0T} e^{i\omega'' t} \end{split}$$

• Esiste una soluzione non nulla solo se le tre frequenze sono uguali

$$\omega = \omega' = \omega''$$

$$\tilde{E}_{0I} + \tilde{E}_{0R} = \tilde{E}_{0T}$$

ullet La condizione su $B_{||}$ è

$$\frac{1}{\mu_{1}}\mathbf{B}_{1\parallel} = \frac{1}{\mu_{2}}\mathbf{B}_{2\parallel} \qquad \longrightarrow \qquad \frac{1}{\mu_{1}} \left(\frac{1}{v_{1}}\tilde{E}_{0I} - \frac{1}{v_{1}}\tilde{E}_{0R} \right) = \frac{1}{\mu_{2}v_{2}}\tilde{E}_{0T}$$

$$\frac{1}{\mu_{1}} \left(\frac{1}{v_{1}} \tilde{E}_{0I} - \frac{1}{v_{1}} \tilde{E}_{0R} \right) = \frac{1}{\mu_{2} v_{2}} \tilde{E}_{0T} \qquad \tilde{E}_{0I} - \tilde{E}_{0R} = \frac{\mu_{1} v_{1}}{\mu_{2} v_{2}} \tilde{E}_{0T} \qquad \beta = \frac{\mu_{1} v_{1}}{\mu_{2} v_{2}} \tilde{E}$$

Risolviamo il sistema

$$\begin{cases} \tilde{E}_{\scriptscriptstyle 0I} + \tilde{E}_{\scriptscriptstyle 0R} = \tilde{E}_{\scriptscriptstyle 0T} \\ \tilde{E}_{\scriptscriptstyle 0I} - \tilde{E}_{\scriptscriptstyle 0R} = \beta \tilde{E}_{\scriptscriptstyle 0T} \end{cases}$$

$$2\tilde{E}_{0I} = (1+\beta)\tilde{E}_{0T}$$
 $\tilde{E}_{0T} = \frac{2}{1+\beta}\tilde{E}_{0I}$

$$ilde{E}$$
 $ilde{E}$

$$\left| \tilde{E}_{0T} \right| = \frac{2}{1+\beta} \tilde{E}_{0I}$$

$$ilde{E}_{_{0R}} = ilde{E}_{_{0T}} - ilde{E}_{_{0I}} \qquad egin{aligned} ilde{E}_{_{0R}} = rac{1-eta}{1+eta} ilde{E}_{_{0I}} \end{aligned}$$

- ullet Per la maggior parte delle sostanze $\mu_{
 m r}=\mu/\mu_0$ è praticamente uguale a 1
 - In tal caso

$$\beta = \frac{v_1}{v_2} = \frac{n_2}{n_1}$$

$$ilde{E}_{_{0T}} \, = rac{2 v_{_2}}{v_{_1} + v_{_2}} ilde{E}_{_{0I}}$$

$$eta = rac{v_1}{v_2} = rac{n_2}{n_1} \qquad ilde{E}_{0T} = rac{2v_2}{v_1 + v_2} ilde{E}_{0I} \qquad \qquad ilde{E}_{0T} = rac{2n_1}{n_1 + n_2} ilde{E}_{0I}$$

$$ilde{E}_{_{0R}} = rac{v_{_{2}} - v_{_{1}}}{v_{_{1}} + v_{_{2}}} ilde{E}_{_{0R}}$$

$$ilde{E}_{0R} = rac{v_2 - v_1}{v_1 + v_2} ilde{E}_{0I} \qquad \qquad ilde{E}_{0R} = rac{n_1 - n_2}{n_1 + n_2} ilde{E}_{0I}$$

- Calcoliamo adesso le intensità (assumendo polarizzazione lineare)
 - Ricordiamo la relazione che lega l'intensità all'ampiezza

$$I = \frac{1}{2} \varepsilon v E_0^2$$

$$I_{I} = rac{1}{2} \, arepsilon_{\scriptscriptstyle 1} v_{\scriptscriptstyle 1} \left| ilde{E}_{\scriptscriptstyle 0I}
ight|^2 = rac{1}{2} \, arepsilon_{\scriptscriptstyle 1} v_{\scriptscriptstyle 1} E_{\scriptscriptstyle 0}^2$$

$$I_R = rac{1}{2} arepsilon_1 v_1 \left| ilde{E}_{0R}
ight|^2 = rac{1}{2} arepsilon_1 v_1 \left(rac{n_1 - n_2}{n_1 + n_2}
ight)^2 E_0^2$$

$$I_T=rac{1}{2}arepsilon_2 v_2ig| ilde{E}_{0T}ig|^2=rac{1}{2}arepsilon_2 v_2igg(rac{2n_1}{n_1+n_2}igg)^2 E_0^2$$
• Non c'è onda riflessa • Tutta l'onda è trasme

- - Tutta l'onda è trasmessa
- Definiamo i coefficienti di riflessione e trasmissione

$$R = \frac{I_R}{I_I} = \frac{\frac{1}{2}\varepsilon_1 v_1 \left(\frac{n_1 - n_2}{n_1 + n_2}\right)^2 E_0^2}{\frac{1}{2}\varepsilon_1 v_1 E_0^2} = \left(\frac{n_1 - n_2}{n_1 + n_2}\right)^2$$

$$T = \frac{I_T}{I_I} = \frac{\varepsilon_2 v_2}{\varepsilon_1 v_1} \left(\frac{2n_1}{n_1 + n_2}\right)^2 = \frac{n_2}{n_1} \left(\frac{2n_1}{n_1 + n_2}\right)^2 = \frac{4n_1 n_2}{\left(n_1 + n_2\right)^2} \qquad R + T = 1$$

- Trattiamo adesso il problema della riflessione di un'onda nel caso in cui il vettore d'onda formi un angolo con la normale alla superficie
 - L'onda incidente

Tonda formi un angolo con la normale alla superficie L'onda incidente
$$\tilde{\mathbf{E}}_{I}\left(\mathbf{r},t\right)=\tilde{\mathbf{E}}_{0I}e^{i(\omega t-\mathbf{k}_{I}\cdot\mathbf{r})}\quad \tilde{\mathbf{B}}_{I}\left(\mathbf{r},t\right)=\frac{1}{v_{1}}\hat{\mathbf{k}}_{I}\times\tilde{\mathbf{E}}_{0I}$$
 k.
$$\mathbf{k}_{R}$$

L'onda riflessa

$$\tilde{\mathbf{E}}_{R}\left(\mathbf{r},t\right) = \tilde{\mathbf{E}}_{0R}e^{i\left(\omega t - \mathbf{k}_{R}\cdot\mathbf{r}\right)} \quad \tilde{\mathbf{B}}_{R}\left(\mathbf{r},t\right) = \frac{1}{v_{1}}\hat{\mathbf{k}}_{R} \times \tilde{\mathbf{E}}_{0R}$$

L'onda trasmessa

$$\tilde{\mathbf{E}}_{T}\left(\mathbf{r},t\right) = \tilde{\mathbf{E}}_{0T}e^{i\left(\omega t - \mathbf{k}_{T}\cdot\mathbf{r}\right)} \quad \tilde{\mathbf{B}}_{T}\left(\mathbf{r},t\right) = \frac{1}{v_{2}}\hat{\mathbf{k}}_{T}\times\tilde{\mathbf{E}}_{0T}$$

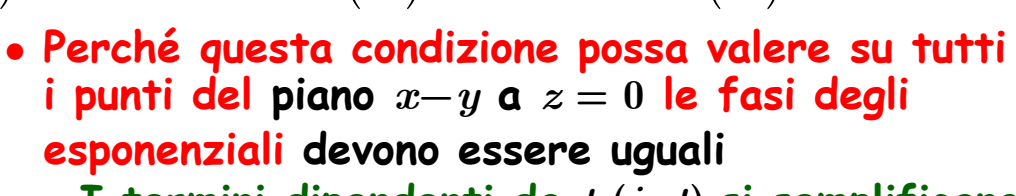
- Come abbiamo visto nel caso precedente tutte e tre le onde hanno la stessa frequenza angolare ω
- I tre vettori d'onda, esplicitamente indicati, sono legati alle freguenze e alle velocità di propagazione

$$k_I v_1 = k_R v_1 = k_T v_2 = \omega$$
 $k_I = k_R = \frac{v_2}{v_1} k_T = \frac{n_1}{n_2} k_T$

ullet I campi totali nella regione 1 $f E_I + f E_R$ e $f B_I + f B_R$ devono adesso essere raccordati ai campi \mathbf{E}_T e \mathbf{B}_T nella regione 2 tramite le condizioni all'interfaccia

• La forma generica delle condizioni all'interfaccia è

$$()e^{i(\omega t - \mathbf{k}_I \cdot \mathbf{r} - \omega t)} + ()e^{i(\omega t - \mathbf{k}_R \cdot \mathbf{r})} = ()e^{i(\omega t - \mathbf{k}_T \cdot \mathbf{r})}$$



- ullet I termini dipendenti da t $(i\omega t)$ si semplificano
- Avremo pertanto (per z=0)

$$\mathbf{k}_{_{I}}\cdot\mathbf{r}=\mathbf{k}_{_{R}}\cdot\mathbf{r}=\mathbf{k}_{_{T}}\cdot\mathbf{r}$$

• Esplicitamente

$$xk_{Ix} + yk_{Iy} = xk_{Rx} + yk_{Ry} = xk_{Tx} + yk_{Ty}$$

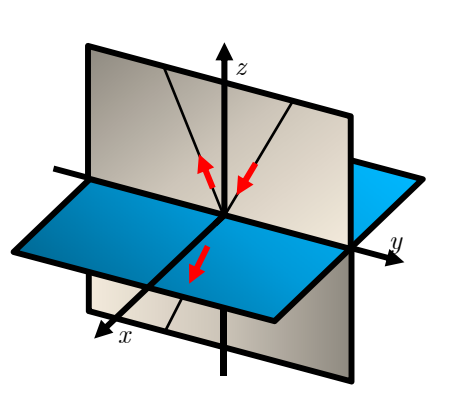
- ullet Queste relazioni devono valere per qualunque valore di x e di y
 - In particolare per y=0

$$xk_{Ix} = xk_{Rx} = xk_{Tx}$$
 \longrightarrow $k_{Ix} = k_{Rx} = k_{Tx}$

• E per x=0

$$yk_{Iy} = yk_{Ry} = yk_{Ty}$$
 \longrightarrow $k_{Iy} = k_{Ry} = k_{Ty}$

- Il significato di queste relazioni è che le componenti trasversali (rispetto a $\hat{\mathbf{e}}_z$) dei tre vettori d'onda sono uguali
 - Pertanto i tre vettori giacciono sullo stesso piano



- Arriviamo pertanto alla prima legge dell'ottica geometrica
 - I vettori d'onda delle tre onde $(k_I,\,k_R,\,k_T)$ formano un piano detto piano di incidenza
 - ullet Il piano è definito dalla normale e da ${f k}_I$
 - ullet Per fissare le idee supponiamo che il piano di incidenza sia il piano y-z
 - ullet Significa che $k_{Ix}=\,k_{Rx}=\,k_{Tx}=\,0$
- Abbiamo visto che

$$k_{Iy} = k_{Ry} = k_{Ty}$$

• Significa che

$$k_I \sin \theta_I = k_R \sin \theta_R$$
 \implies $\sin \theta_I = \sin \theta_R$

- Abbiamo trovato la seconda legge (della riflessione)
 - ullet L'angolo di incidenza $heta_I$ è uguale all'angolo di riflessione $heta_R$
- Inoltre abbiamo

$$k_{\!\scriptscriptstyle I} \sin heta_{\!\scriptscriptstyle I} = k_{\!\scriptscriptstyle T} \sin heta_{\!\scriptscriptstyle T} \quad rac{k_{\!\scriptscriptstyle I}}{k_{\!\scriptscriptstyle T}} = rac{\sin heta_{\!\scriptscriptstyle T}}{\sin heta_{\!\scriptscriptstyle I}} \quad rac{\sin heta_{\!\scriptscriptstyle T}}{\sin heta_{\!\scriptscriptstyle I}} = rac{\omega}{v_{\!\scriptscriptstyle I}} \, / \, rac{\omega}{v_{\!\scriptscriptstyle T}} = rac{v_{\!\scriptscriptstyle T}}{v_{\!\scriptscriptstyle I}} = rac{n_{\!\scriptscriptstyle I}}{n_{\!\scriptscriptstyle T}}$$

- Troviamo quindi la terza legge o legge di Snell
 - Nota anche come legge della rifrazione

$$\frac{\sin \theta_{\scriptscriptstyle T}}{\sin \theta_{\scriptscriptstyle I}} = \frac{n_{\scriptscriptstyle I}}{n_{\scriptscriptstyle T}}$$

 θ_T

• Abbiamo trovato le tre leggi fondamentali dell'ottica geometrica

• Non abbiamo ancora utilizzato le condizioni all'interfaccia

• Le condizioni che abbiamo trovato assicurano che gli esponenziali si semplificano

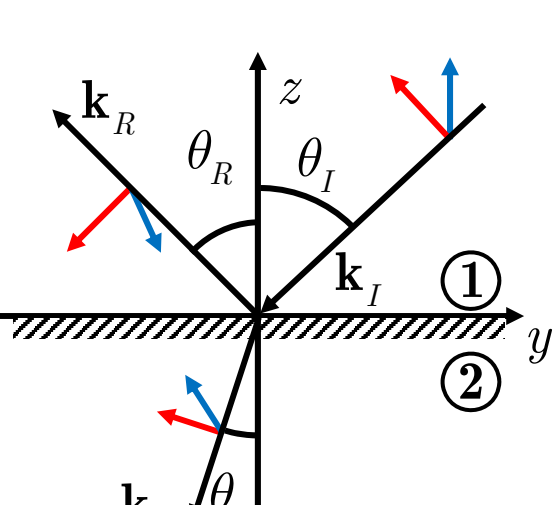




- E può giacere sul piano di incidenza
- E può essere perpendicolare al piano di incidenza
 - Una polarizzazione arbitraria può essere ottenuta come una combinazione delle due indicate
- ullet Trattiamo solo il caso in cui il campo \mathbf{E}_I giace nel piano di incidenza
 - ullet Si può dimostrare che anche \mathbf{E}_R e \mathbf{E}_T giacciono sul piano di incidenza
 - \bullet Notiamo che nel caso dell'incidenza obliqua i campi elettrici E hanno una componente normale alla superficie

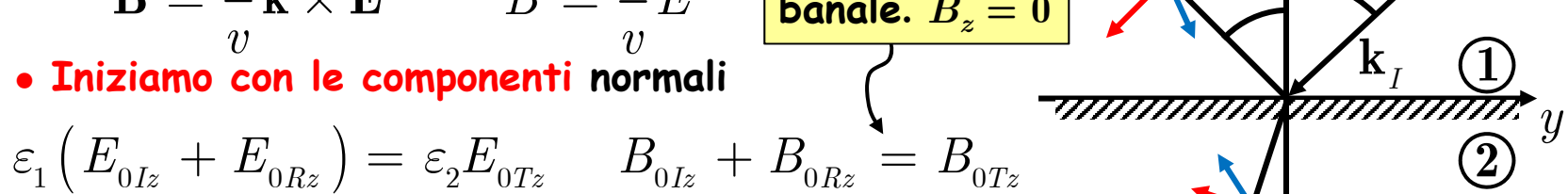


ullet Hanno solo componente lungo l'asse $x o B_z=B_y=0$



- Scriviamo le condizioni al contorno
 - Ricordiamo che nell'onda piana

cordiamo che nell'onda piana
$$\mathbf{B} = \frac{1}{v}\hat{\mathbf{k}} \times \mathbf{E} \qquad B = \frac{1}{v}E$$
 iziamo con le componenti normali



• Per le componenti tangenziali

$$\mathbf{E}_{0I\parallel} + \mathbf{E}_{0R\parallel} = \mathbf{E}_{0T\parallel} \qquad \frac{1}{\mu_1} \Big(\mathbf{B}_{0I\parallel} + \mathbf{B}_{0R\parallel} \Big) = \frac{1}{\mu_2} \mathbf{B}_{0T\parallel} \qquad \mathbf{k}_T \left[\boldsymbol{\theta}_T \right]$$

- Queste ultime equazioni sono in realtà quattro (in generale)
 - ullet Due componenti (x, y) per ogni campo
- ullet Proiettiamo sull'asse z i campi ${
 m E}$. La prima equazione diventa

- La terza equazione $E_{0I}\cos heta_I+E_{0R}\cos heta_R=E_{0T}\cos heta_T$ Proiezione lungo y
- Per finire la guarta equazione

$$\frac{1}{\mu_1 v_1} \big(E_{\scriptscriptstyle 0I} - E_{\scriptscriptstyle 0R} \, \big) = \frac{1}{\mu_2 v_2} E_{\scriptscriptstyle 0T} \qquad \text{Proiezione lungo } \mathbf{x}$$

• Riassumendo $\qquad arepsilon_1 \left(E_{0I} \sin heta_I - E_{0R} \sin heta_R \,
ight) = arepsilon_2 E_{0T} \sin heta_T$

$$E_{0I}\cos\theta_{I} + E_{0R}\cos\theta_{R} = E_{0T}\cos\theta_{T} \qquad \frac{1}{\mu_{1}v_{1}}(E_{0I} - E_{0R}) = \frac{1}{\mu_{2}v_{2}}E_{0T}$$

- La prima equazione è equivalente all'ultima
 - Infatti per le leggi della riflessione

$$\sin \theta_{\scriptscriptstyle I} = \sin \theta_{\scriptscriptstyle R} \qquad rac{\sin \theta_{\scriptscriptstyle T}}{\sin \theta_{\scriptscriptstyle I}} = rac{v_2}{v_1} \qquad \qquad arepsilon_{\scriptscriptstyle 1} = rac{1}{\mu_{\scriptscriptstyle 1} v_{\scriptscriptstyle 1}^2} \qquad \qquad arepsilon_{\scriptscriptstyle 2} = rac{1}{\mu_{\scriptscriptstyle 2} v_{\scriptscriptstyle 2}^2}$$

$$E_{0I} - E_{0R} = rac{arepsilon_2}{arepsilon_1} E_{0T} rac{\sin heta_T}{\sin heta_I} = rac{\mu_1 v_1^2}{\mu_2 v_2^2} E_{0T} rac{v_2}{v_1} \qquad \qquad E_{0I} - E_{0R} = rac{\mu_1 v_1}{\mu_2 v_2} E_{0T}$$

• In definitiva abbiamo due equazioni

$$\beta = \frac{\mu_1 v_1}{\mu_2 v_2} \quad \alpha = \frac{\cos \theta_T}{\cos \theta_I}$$

$$E_{0I} - E_{0R} = \beta E_{0T}$$
 $E_{0I} + E_{0R} = E_{0T} \frac{\cos \theta_T}{\cos \theta_T} = \alpha E_{0T}$

• Risolviamo il sistema

$$\begin{cases} E_{0I} + E_{0R} = \alpha E_{0T} \\ E_{0I} - E_{0R} = \beta E_{0T} \end{cases}$$

$$\alpha = \frac{\cos \theta_T}{\cos \theta_I}$$

$$\beta = \frac{\mu_1 v_1}{\mu_1 v_2}$$

$$2E_{0I} = (\alpha + \beta)E_{0T}$$

$$E_{0T} = \frac{2}{\alpha + \beta} E_{0I}$$

$$E_{0R} = \frac{\alpha - \beta}{\alpha + \beta} E_{0I}$$

• Sostituiamo nella seconda

$$E_{0R} = E_{0I} - \beta E_{0T}$$

- Le due soluzioni trovate sono note come equazioni di Fresnel quando la polarizzazione giace sul piano di incidenza
 - ullet Notiamo che per $heta_I=0$ anche $heta_T=0$ e lpha=1
 - Ritroviamo le leggi della incidenza normale
 - Notiamo inoltre che l'ampiezza delle onde riflessa e trasmessa dipende dall'angolo di incidenza

$$\alpha = \frac{\cos\theta_{\scriptscriptstyle T}}{\cos\theta_{\scriptscriptstyle I}} = \frac{\sqrt{1-\sin^2\theta_{\scriptscriptstyle T}}}{\cos\theta_{\scriptscriptstyle I}} = \frac{\sqrt{1-\left(n_{\scriptscriptstyle 1} \ / \ n_{\scriptscriptstyle 2}\sin\theta_{\scriptscriptstyle I}\right)^2}}{\cos\theta_{\scriptscriptstyle I}} = f\left(\theta_{\scriptscriptstyle I}\right)$$

ullet Per $heta_I o \pi/2$ abbiamo $lpha o \infty$ e l'onda viene completamente riflessa



$$\alpha = \frac{\cos \theta_T}{\cos \theta_I} \qquad \beta = \frac{\mu_1 v_1}{\mu_2 v_2} \qquad \boxed{E_{0T} = \frac{2}{\alpha + \beta} E_{0I}} \qquad \boxed{E_{0R} = \frac{\alpha - \beta}{\alpha + \beta} E_{0I}}$$

$$E_{0T} = \frac{2}{\alpha + \beta} E_{0I}$$

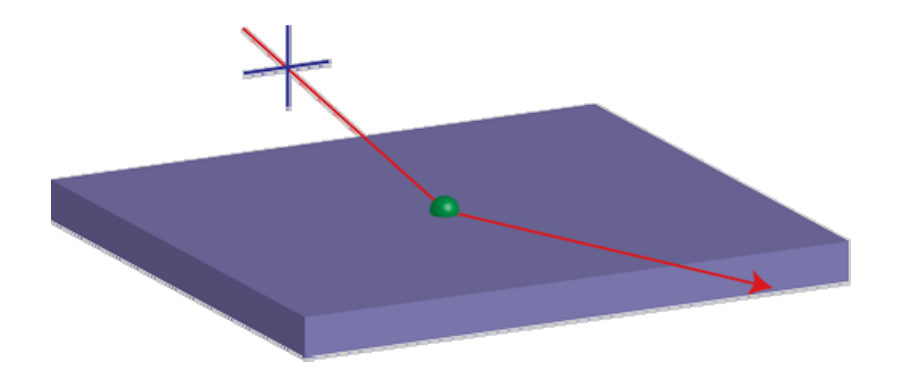
$$E_{0R} = \frac{\alpha - \beta}{\alpha + \beta} E_{0I}$$

- ullet Osserviamo inoltre che per lpha=eta l'onda riflessa ha ampiezza nulla
 - In questo caso non c'è onda riflessa, tutta l'onda viene trasmessa
 - L'angolo di incidenza per il quale questo accade si chiama angolo di Brewster
 - Dalle formule precedenti si ricava facilmente

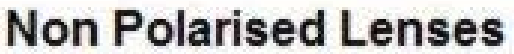
$$\sin^2 heta_{_B} = rac{1 - eta^2}{ig(n_{_1} \ / \ n_{_2} ig)^2 - eta^2}$$

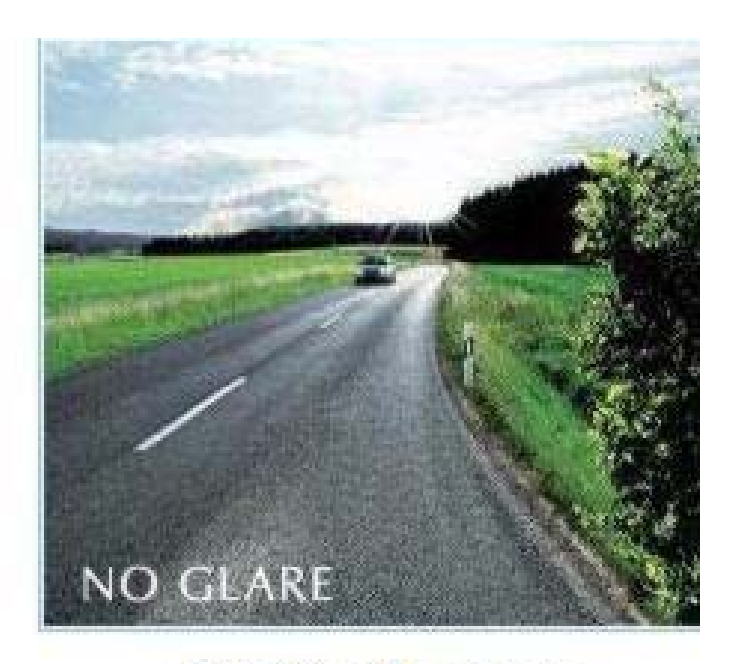
- Per la luce con polarizzazione perpendicolare al piano di incidenza non esiste un fenomeno analogo
 - Supponiamo che un fascio di luce con polarizzazione arbitraria incida su una superficie con angolo di incidenza uguale (o prossimo) all'angolo di Brewster
 - La componente con polarizzazione parallela al piano di incidenza non è riflessa: è trasmessa, in pratica assorbita
 - Tutta la luce riflessa ha polarizzazione perpendicolare al piano di incidenza
 - Su questo fenomeno si basa l'utilizzo di filtri polaroid negli occhiali per ridurre i riflessi: filtri che assorbono la polarizzazione voluta

Esempio: lenti polarizzate









Polarised Lenses